

**ОПРЕДЕЛЕНИЕ КОЭФФИЦИЕНТОВ
ИНТЕНСИВНОСТИ НАПРЯЖЕНИЙ
ДЛЯ ТРЕЩИН СЛОЖНОЙ ФОРМЫ
В АНИЗОТРОПНЫХ ПЛАСТИНАХ**

B. N. Максименко, A. B. Цендроуский
(Новосибирск)

Применение аналитических методов к проблеме распространения и ветвления усталостных трещин затруднительно из-за недостатка сведений о распределении напряжений в окрестности вершин разрезов сложной конфигурации. Обсуждение последней проблемы и обзор работ в этом направлении можно найти, например, в [1].

Ниже развивается метод решения задачи о системе разрезов сложной формы в анизотропной полуплоскости. Предлагается эффективный алгоритм численного решения задачи. Исследуется влияние анизотропии материала, свободного края пластины, кривизны трещины на распределение напряжений и величину коэффициентов интенсивности напряжений в вершинах разрезов.

1. Рассмотрим упругую пластину из однородного анизотропного материала, занимающую область $D = \{x \geq 0\}$. Пластина ослаблена гладкими криволинейными внутренними разрезами L_j ($j = 1, \dots, k$), не пересекающимися между собой, и подвержена заданной системе внешних усилий. Будем предполагать, что берега разрезов свободны от нагрузок и не контактируют между собой.

Напряжения в пластине выражаются через две аналитические функции [2]:

$$(1.1) \quad (\sigma_x, \tau_{xy}, \sigma_y) = 2 \operatorname{Re} \left\{ \sum_{v=1}^2 (\mu_v^2, -\mu_v, 1) \Phi_v(z_v) \right\}, \quad z_v = x + \mu_v y \quad (v = 1, 2),$$

где μ_v — корни характеристического уравнения.

Искомые функции $\Phi_v(z_v)$ разыскиваем в виде

$$(1.2) \quad \begin{aligned} \Phi_v(z_v) &= \Phi_v^0(z_v) + \Phi_v^1(z_v), \\ \Phi_v^1(z_v) &= \frac{1}{2\pi i} \int_L \left\{ \frac{\omega_v(\tau) d\tau_v}{\tau_v - z_v} - \frac{l_v s_v \overline{\omega_1(\tau)} d\bar{\tau}_1}{\bar{\tau}_1 - s_v z_v} - \frac{n_v m_v \overline{\omega_2(\tau)} d\bar{\tau}_2}{\bar{\tau}_2 - m_v z_v} \right\}. \end{aligned}$$

Здесь и ниже использованы обозначения [3]; $\Phi_v^0(z_v)$ — решение для полуплоскости без разрезов от заданной системы внешних усилий. Значения $\Phi_v^0(z_v)$ будем считать известными. В ином виде представления $\Phi_v^1(z_v)$ даны в [4].

Функции $\Phi_v(z_v)$, определяемые равенствами (1.2), удовлетворяют заданной системе внешних усилий, в том числе краевым условиям на крае пластины $x = 0$ и на бесконечности.

Подставляя предельные значения $\Phi_v(z_v)$ из (1.2) в краевые условия на L и параметризуя контуры $L_j = \{t = \tau^j(\xi); |\xi| < 1\}$, получим для определения неизвестных комплексных функций $\omega_v(t) = \{\omega_{vj}(t) | t \in L_j; j = 1, \dots, k\}$ следующую систему сингулярных интегральных уравнений задачи [3]:

$$(1.3) \quad \begin{aligned} \int_{-1}^1 \frac{F_j(\xi, \eta) \chi_j(\eta) d\eta}{\eta - \xi} + \sum_{s=1}^k \int_{-1}^1 \{k_1^{js}(\xi, \eta) \chi_s(\eta) + k_2^{js}(\xi, \eta) \chi_s(\eta)\} d\eta &= f_j(\xi), \\ \omega_{1j}(t) &= \chi_j(\xi), \\ \omega_{2j}(t) &= -a(t) \omega_{1j}(t) - b(t) \overline{\omega_{1j}(t)}, \\ k_1^{js}(\xi, \eta) &= \frac{\tau_1(\eta)}{2} \frac{d}{dt_i} \left\{ \ln \frac{(\tau_1 - t_1)(\bar{\tau}_2 - m_1 t_1)(\tau_1 - \bar{s}_2 t_2)}{(\bar{\tau}_2 - \bar{t}_2)} - \right. \\ &\quad \left. - \left| \frac{a_0}{b_0} \right|^2 \ln \frac{(\tau_1 - \bar{s}_2 t_2)(\tau_2 - \bar{m}_1 \bar{t}_1)}{(\tau_1 - \bar{s}_1 t_1)(\tau_2 - \bar{m}_2 \bar{t}_2)} + \frac{1 - \delta_{js}}{\tau_1 - t_i} \dot{\tau}_1(\eta) \right\}, \end{aligned}$$

$$k_2^{js}(\xi, \eta) = \frac{\overline{a_0 \tau_1^j(\eta)}}{2b_0} \frac{d}{dt_1} \left\{ \ln \frac{(\bar{\tau}_1 - \bar{t}_1)(\bar{\tau}_2 - m_1 t_1)(\tau_2 - \bar{m}_2 \bar{t}_2)}{(\bar{\tau}_2 - \bar{t}_2)(\tau_2 - \bar{m}_1 \bar{t}_1)(\bar{\tau}_1 - s_1 t_1)} \right\},$$

$$f_j(\xi) = \frac{-\pi i}{b(t)} \{ \overline{a(t)} \overline{\Phi_1^0(t_1)} + b(t) \Phi_1^0(t_1) + \overline{\Phi_2^0(t_2)} \},$$

$$F_j(\xi, \eta) = \frac{(\eta - \xi) [\tau_1^j(\eta)]}{\tau_1^j(\eta) - t_1},$$

$$a_0 = \frac{\mu_1 - \bar{\mu}_1}{\mu_2 - \bar{\mu}_2}, \quad b_0 = \frac{\bar{\mu}_1 - \bar{\mu}_2}{\mu_2 - \bar{\mu}_2}, \quad t = \tau^j(\xi) \in L_j, \quad \tau = \tau^s(\eta) \in L_s,$$

где δ_{js} — символ Кронекера; $\tau = d\tau/d\eta$.

Уравнения (1.3) в совокупности с дополнительными условиями однозначности смещений при обходе L_j [3]

$$(1.4) \quad \int_{-1}^1 \chi_j(\eta) \tau_1^j(\eta) d\eta = 0 \quad (j = 1, \dots, k)$$

полностью определяют искомое решение задачи.

Пусть пластина ослаблена одним прямолинейным разрезом $L = \{t = \tau(\xi) = x_0 + le^{i\alpha} \xi; |\xi| < 1\}$ ($0 \leq \alpha < 2\pi$). Полагая $\varphi(\xi) = i\varphi(\xi)/\epsilon$ ($\epsilon = \mu_1 - \mu_2$) и осуществляя предельный переход к изотропной среде ($\epsilon \rightarrow 0$), имеем интегральное уравнение задачи о прямолинейном разрезе в изотропной полуплоскости

$$(1.5) \quad \int_{-1}^1 \frac{\varphi(\eta) d\eta}{\eta - \xi} + \int_{-1}^1 \{k_1(\xi, \eta) \varphi(\eta) + k_2(\xi, \eta) \overline{\varphi(\eta)}\} d\eta = f(\xi),$$

$$k_1(\xi, \eta) = \frac{1}{2} \frac{d}{d\xi} \ln(C^2 + T^2) - 2X(C + iT)^{-4} \{2iY(C + iT) \cos \psi +$$

$$+ (\eta - \xi) C \sin^2 \psi + T^2 \sin \psi + 2iT[(\eta + \xi) \sin \psi - Y] \sin \psi\},$$

$$k_2(\xi, \eta) = 4 \frac{\epsilon^{-i\psi} CTX}{(C^2 + T^2)^2}, \quad C = \frac{2x_0}{l} - (\eta + \xi) \sin \psi,$$

$$T = (\eta - \xi) \sin \psi, \quad X = \frac{x_0}{l} - \eta \sin \psi, \quad Y = \frac{x_0}{l} - \xi \sin \psi, \quad \psi = \alpha - \frac{\pi}{2}.$$

Этот результат совпадает с соотношениями, например, [1].

2. Так как внутренние гладкие разрезы L_j не пересекаются между собой, ядра $k_p^{js}(\xi, \eta)$ в уравнении (1.3) непрерывны. Индекс системы сингулярных интегральных уравнений (1.3) равен +1. Решение системы при дополнительных ограничениях (1.4) в классе функций

$$(2.1) \quad \chi_j(\xi) = \chi_j^0(\xi) (1 - \xi^2)^{-1/2}$$

($\chi_j^0(\xi)$ — ограниченные непрерывные по Гельдеру функции) существует и единственно [5].

Обычным образом сводим решение системы (1.3) совместно с дополнительными условиями (1.4) к решению системы линейных алгебраических уравнений

$$(2.2) \quad \frac{\pi}{N} \sum_{n=1}^N \left\{ \frac{F_j(x_p, t_n)}{t_n - x_p} \chi_{jn}^0 + \sum_{s=1}^k [k_{1,pn}^{js} \chi_{sn}^0 + k_{2,pn}^{js} \bar{\chi}_{sn}^0] \right\} = f_{jp},$$

$$\frac{\pi}{N} \sum_{n=1}^N \tau_1^j(t_n) \chi_{jn}^0 = 0, \quad j = 1, \dots, k, \quad p = 1, \dots, N - 1,$$

$$k_{1,pn}^{js} = k_1^s(x_p, t_n), \quad k_{2,pn}^{js} = k_2^s(x_p, t_n), \quad x_p = \cos \frac{\pi}{N} p, \quad t_n = \cos \frac{2n - 1}{2N} \pi$$

относительно приближенных значений искомых функций в чебышевских узлах $\chi_{jn}^0 = \chi_j^0(t_n)$. Оценка сходимости решения системы (2.2) к решениям уравнений (1.3), (1.4) дана, например, в [6].

Определив из (2.2), (1.3) значения

$$\omega_{vj}^0(\pm 1) = \lim_{\xi \rightarrow \pm 1} \omega_{vj}[\tau^j(\xi)] (1 - \xi^2)^{1/2}$$

и используя асимптотические формулы в окрестности $c = \tau^j(\pm 1)$ концов разреза L_j [3]

$$\Phi_v(z_v) \approx 2^{-3/2} \omega_{vj}^0(\pm 1) \{ \mp \tau_1^j(\pm 1)/(z_v - c_v) \}^{1/2},$$

по формулам (1.1) находим асимптотическое распределение напряжений в вершинах трещин.

При выходе разреза L_p концом a_p на край пластины $x = 0$ или пересечении разрезов в точке a_p условие (1.4) при $j = p$ уже не выполняется и его следует отбросить. В соответствующих ядрах $k_v^{jp}(\xi, \eta)$ интегральных уравнений (1.3) появляются неподвижные особенности, а функция $\omega_{1p}(t)$ будет иметь в точке $t = a_p$ особенность, отличную от корневой. Характер ее определяется из интегральных уравнений задачи (1.3) способом [7]. Численный метод решения (2.2) в этом случае не годится.

Ниже для краевых и ветвящихся трещин применялась упрощенная процедура решения [1]. Искомые функции $\chi_p(\xi)$ по-прежнему ищем в виде (2.1), но вместо условия (1.4) при $j = p$ подчиним их условию $\chi_p^0(-1) = 0$ ($a_p = \tau^p(-1)$ — точка ветвления или выхода разреза L_p на край пластины). Этот упрощенный способ решения эффективен лишь тогда, когда не требуется определять распределение напряжений в окрестности угловой точки $a_p = \tau^p(-1)$. Если необходимо исследовать распределение напряжений вблизи вершины a_p , то решение надо искать в виде, верно отражающем особенность в угловой точке, и использовать более сложные квадратурные формулы.

3. Представления (1.2) и алгоритм численного решения интегральных уравнений (1.3) оказались эффективным инструментом определения напряжений в окрестности вершин разрезов сложной формы в анизотропных и изотропных пластинах.

Ниже для полуплоскости с трещиной по дуге окружности или ветвящейся трещины с прямолинейными звенями приводятся результаты расчетов, имеющих значение в механике разрушения коэффициентов интенсивности напряжений отрыва и сдвига в вершинах трещин:

$$K_1 = \lim_{t \rightarrow c} \sigma_n \sqrt{\frac{r}{l}}, \quad K_2 = \lim_{t \rightarrow c} \tau_n \sqrt{\frac{r}{l}}.$$

Здесь l — некоторый номинальный размер; $r = |t - c|$; c — вершина трещины; t — точка, лежащая на касательной к трещине, проведенной через вершину c .

Расчеты проводились для пластин из изотропного и ортотропных материалов с различной степенью анизотропии: а) $E = 27,61 \cdot 10^4$ МПа, $v = 0,25$; б) $E_1 = 5,384 \cdot 10^4$ МПа, $E_2 = 1,795 \cdot 10^4$ МПа, $G_{12} = 0,863 \cdot 10^4$ МПа, $v_1 = 0,25$; в) $E_1 = 27,61 \cdot 10^4$ МПа, $E_2 = 2,761 \cdot 10^4$ МПа, $G_{12} = 1,035 \cdot 10^4$ МПа, $v_1 = 0,25$. Данные для изотропного материала получены путем предельного перехода в параметрах анизотропии в численном решении.

На рис. 1—4 приводятся результаты расчетов K_1 , K_2 для равномерного растяжения полуплоскости усилиями $\sigma_v = 1$: кривые 1 — изотропный материал (случай «а»), 2, 3 — ортотропный (случаи «б», «в»); изменение коэффициентов интенсивности напряжений представлено сплошными (штриховыми) линиями, если угол φ , образованный главным направлением анизотропии E_1 с осью x , равен 0 ($\pi/2$).

На рис. 1, 2 даны значения K_i ($i = 1, 2$) соответственно для левой и правой вершины трещины, проходящей по дуге полуокружности вблизи

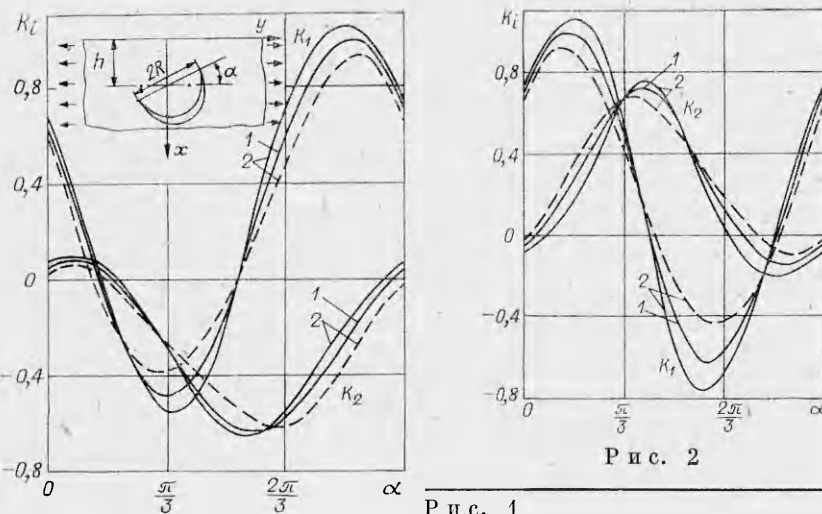
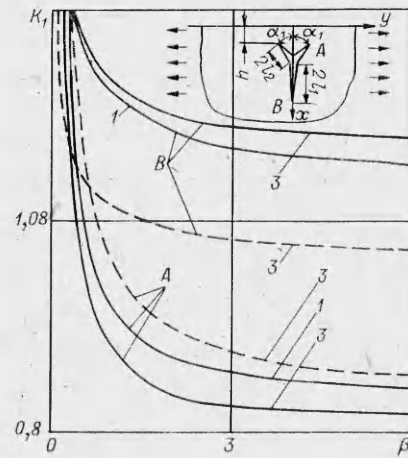
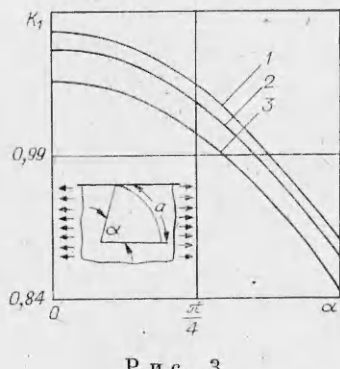


Рис. 2

края полуплоскости, при $R/h = 0,7$, $l = R/2$. Для изотропного материала полученные результаты совпадают с данными [8]. Линии 1 проходят между кривыми для ортотропного материала при $\varphi = 0$ и $\pi/2$. Влияние анизотропии материала на значения коэффициентов интенсивности напряжений может уменьшаться или увеличиваться в зависимости от положения трещины относительно края полуплоскости и оси нагружения. Анизотропия сказывается в большей мере при экстремальных значениях K_i .

На рис. 3 приведены результаты расчетов K_1 в зависимости от угла α для краевого надреза полуплоскости по дуге окружности. Здесь a — длина дуги, $l = a/2$. Результаты расчетов для изотропного материала совпадают с данными [9]. С увеличением степени анизотропии значения K_1 уменьшаются. При $\alpha \rightarrow 0$ получаем значения K_1 в вершине прямолинейного краевого надреза $L = \{0 \leq x \leq a; y = 0\}$, совпадающие с результатами [10]. Для изотропного материала при $\alpha \rightarrow 0$ $K_1 = 1,121$ уже для 20 точек коллокации на разрезе ($N = 20$), т. е. относительная ошибка решения не превышает 0,1% [1]. Как и для прямолинейных надрезов [10], значения $K_1(\alpha)$ ($0 < \alpha < \pi/2$) при $\varphi = 0$ и $\pi/2$ совпадают между собой.

На рис. 4 представлена в зависимости от $\beta = h/l_1$ величина K_1 в вершинах A и B ветвящейся трещины (основной разрез длины $2l_1$ перпендикулярен краю пластины, а из его конца выходят под углом $\alpha = \pi/6$ два боковых надреза длины $2l_2$ каждый) вблизи края полуплоскости при $l_2/l_1 = 0,5$, $l = l_1/2$. При $\beta \rightarrow \infty$ (случай ветвящейся трещины в беско-



ε	K_1					
	N					
	10	20	30	40	50	60
4	0,7493	0,7549	0,7549			
10	0,8213	0,8190	0,8188	0,8188		
16	0,8885	0,8782	0,8769	0,8768	0,8768	
28	0,9977	0,9828	0,9771	0,9765	0,9765	0,9765

иечной пластине) результаты расчетов для изотропного материала совпадают с известными [1]. С увеличением степени анизотропии расхождение в значениях K_1 при $\varphi = 0$ и $\pi/2$ растет, а значения K_1 для изотропного материала занимают промежуточное положение.

Результаты расчетов показали хорошую сходимость алгоритма. Для задачи, показанной на рис. 1, в таблице приводятся для сравнения K_1 при $\alpha = 0$ и различных значениях $\varepsilon = R/h$ и N (см. (2.2)). Сходимость численного решения ухудшается с приближением концов разреза к краю полуплоскости ($\varepsilon \rightarrow \infty$). Для задачи, изображенной на рис. 3, результаты расчетов K_1 при $N \geq 20$ не меняются в первых трех значащих цифрах.

Для крестообразной трещины $L = \bigcup_{s=1}^4 L_s$ (четыре разреза $L_s = \{t = \exp(i\pi s/2)l(\xi + 1); |\xi| < 1\}$ стыкуются вершинами под углом $\alpha = \pi/2$ друг к другу) в бесконечной изотропной пластине, подверженной нагрузке $\sigma_x^\infty = \sigma_y^\infty = 1$, имеем $K_1 = 0,86414$. В [11, 12] для этой задачи получено соответственно $K_1 = 0,86283$ и $0,86356$. Все данные приводятся для десяти точек коллокации на каждом звене L_s ($s = 1, 4$).

ЛИТЕРАТУРА

- Саврук М. П. Двумерные задачи теории упругости для тел с трещинами.— Киев: Наук. думка, 1981.
- Лехницкий С. Г. Анизотропные пластинки.— М.: Гостехиздат, 1957.
- Максименко В. Н. Расчет анизотропных пластин, ослабленных трещинами и подкрепленных ребрами жесткости при помощи сингулярных интегральных уравнений.— В кн.: Численные методы решения задач теории упругости и пластичности. Новосибирск, 1982.
- Фильшинский Л. А. Краевые задачи для анизотропной полуплоскости, ослабленной отверстием или разрезом.— Изв. АН СССР. МТТ, 1980, № 6.
- Векуа Н. П. Системы сингулярных интегральных уравнений и некоторые граничные задачи.— М.: Наука, 1970.
- Белоцерковский С. М., Лифанов И. К. Численные методы в сингулярных интегральных уравнениях.— М.: Наука, 1985.
- Erdogan F., Gupta G. D., Cook T. S. Numerical solution of singular integral equations.— In: Mechan. fracture. I. Methods of analysis and solutions of crack problems. Leyden: Noordhoff Int. Publ. Co., 1973.
- Дацьшин А. П., Марченко Г. П. Взаимодействие криволинейных трещин с границей упругой полуплоскости.— Физ.-хим. механика материалов, 1984, № 5.
- Ioakimidis N. I., Theocaris P. S. A system of curvilinear cracks in an isotropic elastic half-plane.— Intern. J. Fract., 1979, v. 15, N 4.
- Kaya A. C., Erdogan F. Stress intensity factors and COD in an orthotropic strip.— Intern. J. Fract., 1980, v. 16, N 2.
- Theocaris P. S., Ioakimidis N. I. Numerical integration methods for the solution of singular integral equations.— Quart. Appl. Math., 1977, v. 35, N 1.
- Бойко А. В., Карпенко Л. Н. О некоторых численных методах решения плоской задачи упругости для тел с трещинами при помощи сингулярных интегральных уравнений.— ПМ, 1980, т. 16, № 8.

Поступила 8/X 1985 г.